


# 1. TECHNICKÁ ZPRÁVA A STATICKÝ VÝPOČET

Tato projektová dokumentace je majetkem firmy INPROS F-M s.r.o. a nesmí být kopírována ani dále publikována bez souhlasu vlastníka.

<div></div> <div>28. října 1639 738 01 Frýdek-Místek IČO: 646 11 281, DIČ: CZ64611281 tel.: +420 558 436 785 email: <a href="mailto:inprosfm@inprosfm.cz">inprosfm@inprosfm.cz</a> <a href="http://www.inprosfm.cz">www.inprosfm.cz</a></div>	Investor	Sportplex Frýdek-Místek, s.r.o., Na Příkopě 3726, 738 01 Frýdek - Místek	Autor		
	Místo stavby	k.ú. Místek	HIP	Ing. Vladimíra Pokorná	
			Zodp. projektant	Ing. Vladimíra Pokorná	
			Vypracoval	Ing. Martin Fusek	
Stavba	BOURÁNÍ OTVORU V 1.PP KRYTÉHO BAZÉNU V REKREAČNÍM A ODDYCHOVÉM KOMPLEXU ZÓNY OLEŠNÁ		Datum	duben 2025	19 x A4
			Stupeň	DPZ + DPS	
			Č. zakázky	25 / 025 (25 / 009)	
			Část D.2 ZÁKLADNÍ STAV. KONSTRUKČNÍ ŘEŠENÍ		
Obsah	TECHNICKÁ ZPRÁVA A STATICKÝ VÝPOČET		Měřítko	Pořadové číslo:	Revize
			-	D.2.- 01.	



## Obsah

1	ZADÁNÍ A CHARAKTERISTIKA OBJEKTU .....	4
2	PROVEDENÍ A ZAJIŠTĚNÍ OTVORU .....	5
3	HODNOTY STÁLÝCH, UŽITNÝCH A KLIMATICKÝCH ZATÍŽENÍ .....	6
3.1	zatížení .....	6
4	SEZNAM POUŽITÝCH PODKLADŮ, ČSN, TECHNICKÝCH PŘEDPISŮ, ODBORNÉ LITERATURY, SOFTWARE .....	6
5	MATERIÁLY .....	6
6	ZÁVĚR .....	6
7	STATICKÝ VÝPOČET .....	6

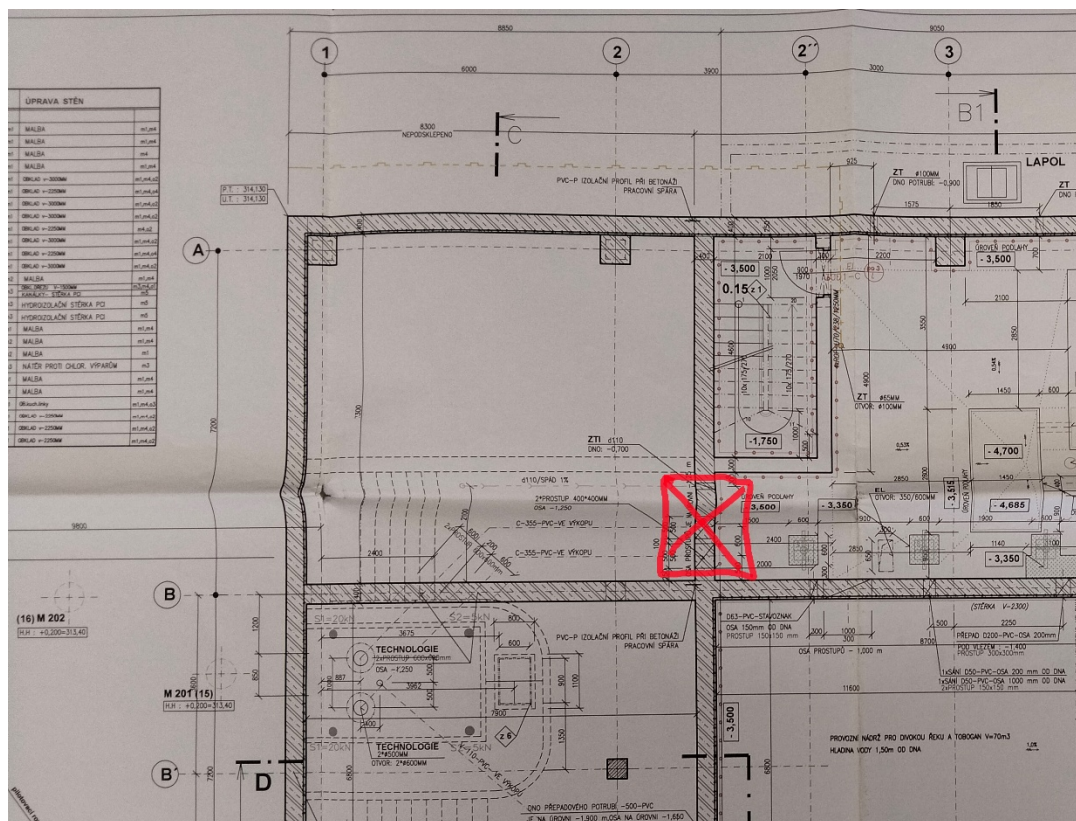


## 1 ZADÁNÍ A CHARAKTERISTIKA OBJEKTU

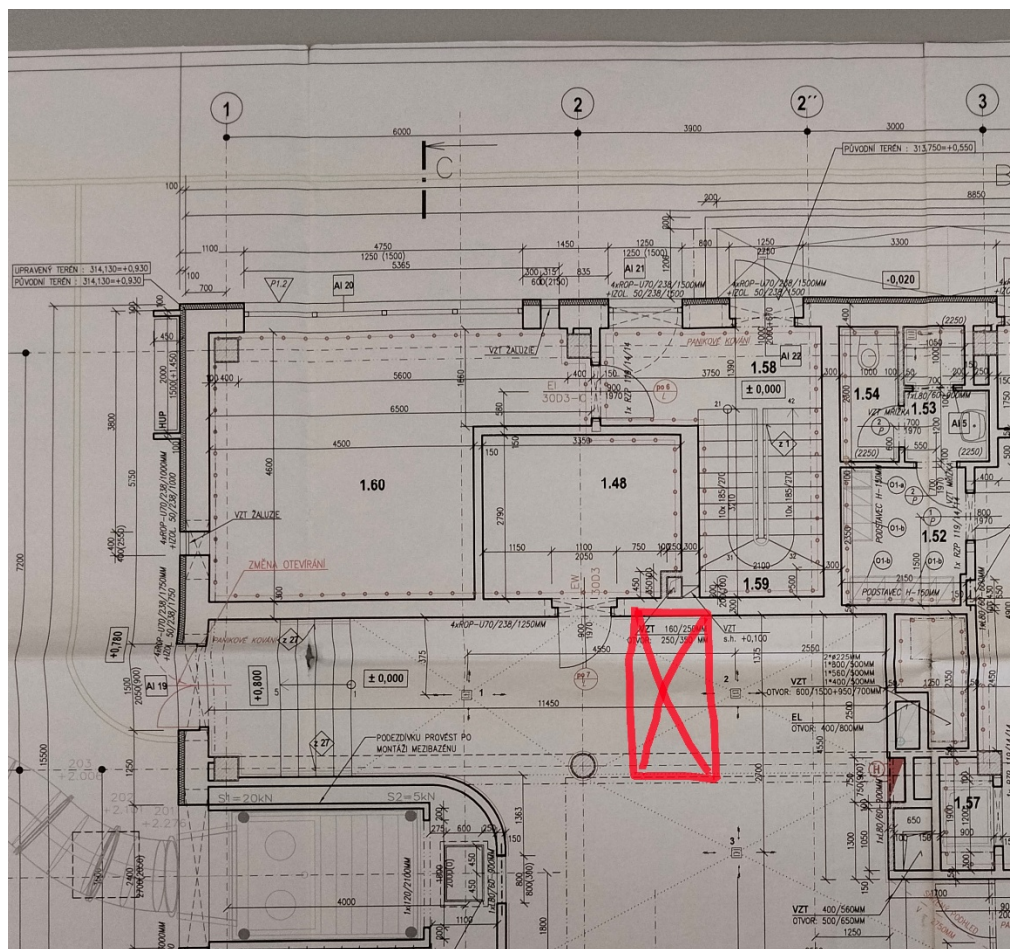
Předmětem statického posouzení je provedení nového otvoru ve stávající železobetonové stěně v 1.PP aquaparku.

Otvor je navržen v technologické časti suterénu.

Dle dokumentace se jedná o železobetonovou monolitickou stěnu, která vynáší železobetonový monolitický strop.



Obr.1 Umístění otvoru v 1.PP



Obr.1 Umístění otvoru v 1.PP – půdorys 1.NP

## 2 PROVEDENÍ A ZAJIŠTĚNÍ OTVORU

Nový otvor bude vyřezán dle uvedených rozměrů v stav/arch dokumentaci.

Zajištění otvoru bude provedeno dvojicí ocelových rámu z HEB 140.

Ocelové rámy jsou vloženy do otvoru, řádně vyklínované ke stěnám a nadpraží otvoru a pomocí chemických kotven jsou do obvodové konstrukce kotvené po vzdálenosti cca 400-500 mm.

Po osazení a vyklínování rámu, mezeru mezi rámy a konstrukcí řádně vyklínovat a spáru vyplnit vysokopevnostní maltou.

Osazení rámu bude přes patní plechy osazených do podlití na podlaze a kotvené chemickými kotvami.

V navazujícím otvoru pro stávající potrubí bude provedena boční sloupková výztuha z I120.

Kotvy Hilti HIT HY 200 A-V3 – M16

Před zahálením stavebních prací řezání otvoru, musí být zkontrolovány vedení sítí infrastruktury a ostatních konstrukcí.

Při řezání nesmí dojít k poškození ostatních nosných konstrukcí.

Okolní nosné konstrukce před zahájením stavebních prací musí být řádně zajištěny (např. podstojkováním).

### **3 HODNOTY STÁLÝCH, UŽITNÝCH A KLIMATICKÝCH ZATÍŽENÍ**

#### **3.1 ZATÍŽENÍ**

- vlastní tíha konstrukce
- viz SV
  - skladba konstrukce
  - užité zatížení

### **4 SEZNAM POUŽITÝCH PODKLADŮ, ČSN, TECHNICKÝCH PŘEDPISŮ, ODBORNÉ LITERATURY, SOFTWARE**

- a) Konstrukční řešení: původní PD
- b) Soubor použitých norem:
  - EN 1990 - Eurokód: Zásady navrhování konstrukcí
  - EN 1991-1-1 - Eurokód 1: Zatížení konstrukcí - Část 1-1: Obecná zatížení - Objemové tíhy, vlastní tíha a užité zatížení pozemních staveb
  - EN 1991-1-3 - Eurokód 1: Zatížení konstrukcí - Část 1-3: Obecná zatížení - Zatížení sněhem
  - EN 1991-1-4 - Eurokód 1: Zatížení konstrukcí - Část 1-4: Obecná zatížení - Zatížení větrem
- c) Programové vybavení:
  - SCIA 25
  - FINE spol. s.r.o.
  - Microsoft Office
  - Statické tabulky

### **5 MATERIÁLY**

Ocelové konstrukce – S235, 2x základní nátěr + vrchní nátěr dle požadavku investora

### **6 ZÁVĚR**

Ocelová konstrukce rámu byla posouzena na zatížení od účinku horní konstrukce. Jednotlivé prvky vyhovují na 1. mezní stav a 2. mezní stav.

Provedením stavebních úprav není snížena ani omezena nosná konstrukce objektu.

Ve Frýdku-Místku dne 17. 4 2025

Vypracoval: Ing. Martin Fusek  
Autorizovaný inženýr  
pro statiku a dynamiku  
ČKAIT 1103006

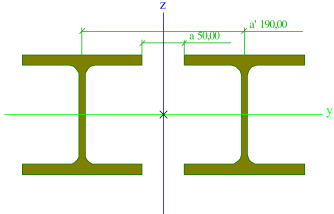
### **7 STATICKÝ VÝPOČET**

**1. Obsah**

1. Obsah	1
2. Průřezy	2
3. Materiály	3
4. Zatěžovací stavy	3
5. Skupiny zatížení	3
6. Kombinace	3
7. Spojité zatížení	3
8. Spojité zatížení	3
8.1. Spojité zatížení - LF1	3
8.1.1. Hodnota pro výpočet / Hodnota	4
8.2. Spojité zatížení - LF2	5
8.2.1. Hodnota pro výpočet / Hodnota	5
8.3. Spojité zatížení - LF3	6
8.3.1. Hodnota pro výpočet / Hodnota	6
9. Generátor výsledkových obrázků	7
9.1. 1D vnitřní síly	7
9.2. 1D vnitřní síly; - N	7
9.3. 1D vnitřní síly; - V <sub>z</sub>	8
9.4. 1D vnitřní síly; - M <sub>y</sub>	8
10. Generátor výsledkových obrázků	9
10.1. 1D deformace	9
10.2. 1D deformace; - u <sub>z</sub>	10
10.3. 1D deformace; - U <sub>total</sub>	10
11. EC-EN 1993 Posudek oceli MSÚ	11
12. EC-EN 1993 Posudek oceli MSP	11



## 2. Průřezy

CS2		
Typ	2I	
Detailní	HEB140; 50,00; 190,00	
Typ tvaru	Tenkostěnný	
Materiál	S 235	
Výroba	válcovaný	
Barva		
Posudek rovinného vzpěru y-y, Posudek rovinného vzpěru z-z	c	c
A [mm <sup>2</sup> ]	8,5958e+03	
A <sub>y</sub> [mm <sup>2</sup> ], A <sub>z</sub> [mm <sup>2</sup> ]	5,9859e+03	1,8795e+03
A <sub>L</sub> [m <sup>2</sup> /m], A <sub>D</sub> [m <sup>2</sup> /m]	1,6106e+00	1,6106e+00
C <sub>y,UCS</sub> [mm], C <sub>z,UCS</sub> [mm]	165,00	70,00
α [deg]	0,00	
I <sub>y</sub> [mm <sup>4</sup> ], I <sub>z</sub> [mm <sup>4</sup> ]	3,0198e+07	8,8571e+07
i <sub>y</sub> [mm], i <sub>z</sub> [mm]	59,27	101,51
W <sub>el,y</sub> [mm <sup>3</sup> ], W <sub>el,z</sub> [mm <sup>3</sup> ]	4,3140e+05	5,3679e+05
W <sub>pl,y</sub> [mm <sup>3</sup> ], W <sub>pl,z</sub> [mm <sup>3</sup> ]	4,9110e+05	8,1660e+05
M <sub>pl,y,+</sub> [Nmm], M <sub>pl,y,-</sub> [Nmm]	115408068,52	115408068,52
M <sub>pl,z,+</sub> [Nmm], M <sub>pl,z,-</sub> [Nmm]	191901410,18	191901410,18
d <sub>y</sub> [mm], d <sub>z</sub> [mm]	0,00	0,00
I <sub>t</sub> [mm <sup>4</sup> ], I <sub>w</sub> [mm <sup>6</sup> ]	4,0260e+05	3,1638e+11
β <sub>y</sub> [mm], β <sub>z</sub> [mm]	0,00	0,00
Obrázek		

Vysvětlivky symbolů	
A	Plocha
A <sub>y</sub>	Smyková plocha ve směru hlavní osy y - Vypočteno 2D MKP analýzou
A <sub>z</sub>	Smyková plocha ve směru hlavní osy z - Vypočteno 2D MKP analýzou
A <sub>L</sub>	Obvodový povrch na jednotku délky
A <sub>D</sub>	Vysychající povrch na jednotku délky
C <sub>y,UCS</sub>	Souřadnice těžiště ve směru osy Y zadávacího systému
C <sub>z,UCS</sub>	Souřadnice těžiště ve směru osy Z zadávacího systému
I <sub>y,LCS</sub>	Moment setrvačnosti kolem osy YLSS
I <sub>z,LCS</sub>	Moment setrvačnosti kolem osy ZLSS
I <sub>yz,LCS</sub>	Moment setrvačnosti I <sub>yz</sub> v LSS
α	Úhel pootočení hlavní osy
I <sub>y</sub>	Moment setrvačnosti kolem hlavní osy y
I <sub>z</sub>	Moment setrvačnosti kolem hlavní osy z
i <sub>y</sub>	Poloměr setrvačnosti kolem hlavní osy y
i <sub>z</sub>	Poloměr setrvačnosti kolem hlavní osy z

Vysvětlivky symbolů	
W <sub>el,y</sub>	Pružný modul průřezu k hlavní ose y
W <sub>el,z</sub>	Pružný modul průřezu k hlavní ose z
W <sub>pl,y</sub>	Plastický modul průřezu k hlavní ose y
W <sub>pl,z</sub>	Plastický modul průřezu k hlavní ose z
M <sub>pl,y,+</sub>	Plastický moment kolem hlavní osy y pro kladný moment M <sub>y</sub>
M <sub>pl,y,-</sub>	Plastický moment kolem hlavní osy y pro záporný moment M <sub>y</sub>
M <sub>pl,z,+</sub>	Plastický moment kolem hlavní osy z pro kladný moment M <sub>z</sub>
M <sub>pl,z,-</sub>	Plastický moment kolem hlavní osy z pro záporný moment M <sub>z</sub>
d <sub>y</sub>	Souřadnice středu smyku ve směru hlavní osy y měřená od těžiště - Vypočteno 2D MKP analýzou
d <sub>z</sub>	Souřadnice středu smyku ve směru hlavní osy z měřená od těžiště - Vypočteno 2D MKP analýzou
I <sub>t</sub>	Moment setrvačnosti v prostém kroucení - Vypočteno 2D MKP analýzou
I <sub>w</sub>	Výsečový moment setrvačnosti - Vypočteno 2D MKP analýzou
β <sub>y</sub>	Mono-symetrická konstanta kolem hlavní osy y
β <sub>z</sub>	Mono-symetrická konstanta kolem hlavní osy z

### 3. Materiály

Ocel EC3

Jméno	$\rho$ [kg/m <sup>3</sup> ]	$E_{mod}$ [MPa]	$\mu$	Dolní mez [mm]	Horní mez [mm]	$F_y$ [MPa]	$F_u$ [MPa]	Barva
		$G_{mod}$ [MPa]	$\alpha$ [m/mK]					
S 235	7850,00	2,1000e+05	0.3	0,00	40,00	235,0	360,0	
		8,0769e+04	0,01e-003	40,00	80,00	215,0	360,0	

### 4. Zatěžovací stavy

Jméno	Popis	Typ působení	Skupina zatížení	Směr	Působení	Řídící zat. stav
	Spec	Typ zatížení				
ZS1	Vlastní tíha	Stálé Vlastní tíha	SZ1	-Z		
ZS2	STÁLÉ	Stálé Standard	SZ1			
ZS3	PODLAHY	Stálé Standard	SZ1			
ZS4	UZITNE Standard	Proměnné Statické	SZ2		Krátkodobé	Žádný

### 5. Skupiny zatížení

Jméno	Zatížení	Vztah	Typ
SZ1	Stálé		
SZ2	Proměnné	Standard	Kat C : shromáždění

### 6. Kombinace

Jméno	Popis	Typ	Zatěžovací stavy	Souč. [-]
MSÚ-Sada B (auto)		EN-MSÚ (STR/GEO) Soubor B	ZS1 - Vlastní tíha	1,000
			ZS2 - STÁLÉ	1,000
			ZS3 - PODLAHY	1,000
			ZS4 - UZITNE	1,000
MSP-Char (auto)		EN-MSP charakteristická	ZS1 - Vlastní tíha	1,000
			ZS2 - STÁLÉ	1,000
			ZS3 - PODLAHY	1,000
			ZS4 - UZITNE	1,000

### 7. Spojité zatížení

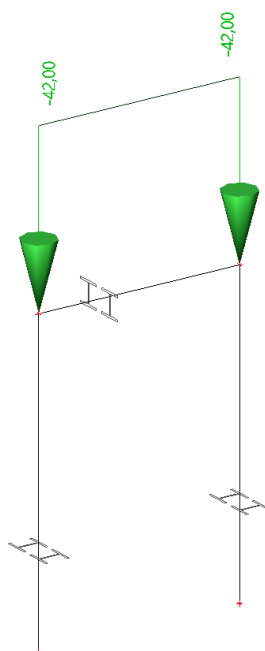
Jméno	Dílec	Typ	Směr	Hodnota - P <sub>1</sub> [kN/m]	Poz x <sub>1</sub>	Souř.	Poč	Exc ey [m]
	Zatěžovací stav	Systém	Rozložení	Hodnota - P <sub>2</sub> [kN/m]	Poz x <sub>2</sub>	Poloha		Exc ez [m]
LF1	B2	Síla	Z	-35,00	0.000	Rela	Od počátku	0,000
	ZS3 - PODLAHY	LSS	Rovnoměrné		1.000	Délka		0,000
LF2	B2	Síla	Z	-42,00	0.000	Rela	Od počátku	0,000
	ZS2 - STÁLÉ	LSS	Rovnoměrné		1.000	Délka		0,000
LF3	B2	Síla	Z	-50,00	0.000	Rela	Od počátku	0,000
	ZS4 - UZITNE	LSS	Rovnoměrné		1.000	Délka		0,000

### 8. Spojité zatížení

#### 8.1. Spojité zatížení - LF1

Jméno	Dílec	Typ	Směr	Hodnota - P <sub>1</sub> [kN/m]	Poz x <sub>1</sub>	Souř.	Poč	Exc ey [m]
	Zatěžovací stav	Systém	Rozložení	Hodnota - P <sub>2</sub> [kN/m]	Poz x <sub>2</sub>	Poloha		Exc ez [m]
LF1	B2	Síla	Z	-35,00	0.000	Rela	Od počátku	0,000
	ZS3 - PODLAHY	LSS	Rovnoměrné		1.000	Délka		0,000

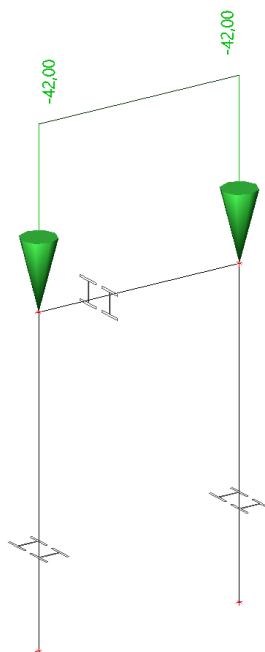
### 8.1.1. Hodnota pro výpočet / Hodnota



## 8.2. Spojité zatížení - LF2

Jméno	Dílec	Typ	Směr	Hodnota - P <sub>1</sub> [kN/m]	Poz x <sub>1</sub>	Souř.	Poč	Exc ey [m]
	Zatěžovací stav	Systém	Rozložení	Hodnota - P <sub>2</sub> [kN/m]	Poz x <sub>2</sub>	Poloha		Exc ez [m]
LF2	B2	Síla	Z	-42,00	0.000	Rela	Od počátku	0,000
	ZS2 - STÁLÉ	LSS	Rovnoměrné		1.000	Délka		0,000

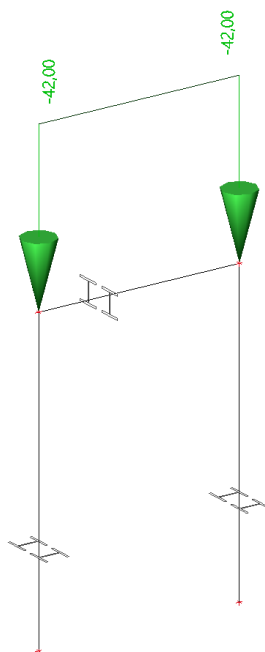
### 8.2.1. Hodnota pro výpočet / Hodnota



### 8.3. Spojité zatížení - LF3

Jméno	Dílec	Typ	Směr	Hodnota - P <sub>1</sub> [kN/m]	Poz x <sub>1</sub>	Souř.	Poč	Exc ey [m]
	Zatěžovací stav	Systém	Rozložení	Hodnota - P <sub>2</sub> [kN/m]	Poz x <sub>2</sub>	Poloha		Exc ez [m]
LF3	B2	Síla	Z	-50,00	0.000	Rela	Od počátku	0,000
	ZS4 - UZITNE	LSS	Rovnoměrné		1.000	Délka		0,000

#### 8.3.1. Hodnota pro výpočet / Hodnota



## 9. Generátor výsledkových obrázků

### 9.1. 1D vnitřní síly

Lineární výpočet

Kombinace: MSÚ-Sada B (auto)

Souřadný systém: Hlavní

Extrém 1D: Dílec

Výběr: Vše

Jméno	dx [m]	Stav	N [kN]	M <sub>y</sub> [kNm]	M <sub>z</sub> [kNm]
B1	1,800	MSÚ-Sada B (auto)/1	-46,60	-4,57	0,00
B1	1,800	MSÚ-Sada B (auto)/2	-98,47	-9,66	0,00
B1	0,000	MSÚ-Sada B (auto)/2	-99,84	0,00	0,00
B2	0,000	MSÚ-Sada B (auto)/1	-2,54	-4,57	0,00
B2	0,600	MSÚ-Sada B (auto)/2	-5,36	19,89	0,00
B2	0,000	MSÚ-Sada B (auto)/2	-5,36	-9,66	0,00
B3	1,800	MSÚ-Sada B (auto)/1	-46,60	4,57	0,00
B3	1,800	MSÚ-Sada B (auto)/2	-98,47	9,66	0,00
B3	0,000	MSÚ-Sada B (auto)/2	-99,84	0,00	0,00

Jméno	Klíč kombinace
MSÚ-Sada B (auto)/1	ZS1 + ZS2 + ZS3
MSÚ-Sada B (auto)/2	1.15*ZS1 + 1.15*ZS2 + 1.15*ZS3 + 1.50*ZS4

### 9.2. 1D vnitřní síly; - N

Hodnoty: **N**

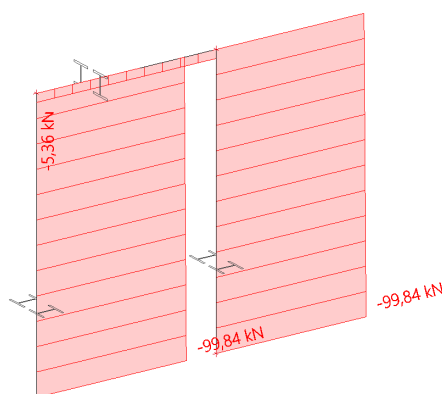
Lineární výpočet

Kombinace: MSÚ-Sada B (auto)

Souřadný systém: Hlavní

Extrém 1D: Dílec

Výběr: Vše



### 9.3. 1D vnitřní síly; - $V_z$

Hodnoty:  $V_z$

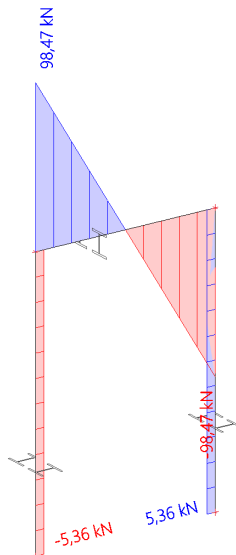
Lineární výpočet

Kombinace: MSÚ-Sada B (auto)

Souřadný systém: Hlavní

Extrém 1D: Dílec

Výběr: Vše



### 9.4. 1D vnitřní síly; - $M_y$

Hodnoty:  $M_y$

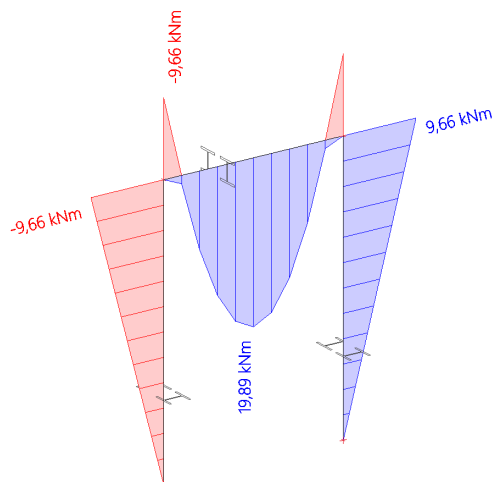
Lineární výpočet

Kombinace: MSÚ-Sada B (auto)

Souřadný systém: Hlavní

Extrém 1D: Dílec

Výběr: Vše



## 10. Generátor výsledkových obrázků

### 10.1. 1D deformace

Lineární výpočet

Kombinace: MSP-Char (auto)

Souřadný systém: Globální

Extrém 1D: Dílec

Výběr: Vše

Deformace

Jméno	dx [m]	Stav	u <sub>x</sub> [mm]	u <sub>y</sub> [mm]	u <sub>z</sub> [mm]	φ <sub>x</sub> [mrad]	φ <sub>y</sub> [mrad]	φ <sub>z</sub> [mrad]	U <sub>total</sub> [mm]
B1	1,050	MSP-Char (auto)/1	0,0	-0,2	0,0	0,0	0,0	0,0	0,2
B1	1,800	MSP-Char (auto)/1	0,0	0,0	-0,1	-0,7	0,0	0,0	0,1
B1	0,000	MSP-Char (auto)/1	0,0	0,0	0,0	0,3	0,0	0,0	0,0
B2	0,600-	MSP-Char (auto)/1	0,0	0,0	-0,6	0,0	0,0	0,0	0,6
B2	0,120	MSP-Char (auto)/1	0,0	0,0	-0,2	-0,8	0,0	0,0	0,2
B2	1,080	MSP-Char (auto)/1	0,0	0,0	-0,2	0,8	0,0	0,0	0,2
B2	0,000	MSP-Char (auto)/2	0,0	0,0	0,0	-0,4	0,0	0,0	0,0
B3	1,800	MSP-Char (auto)/1	0,0	0,0	-0,1	0,7	0,0	0,0	0,1
B3	0,000	MSP-Char (auto)/1	0,0	0,0	0,0	-0,3	0,0	0,0	0,0
B3	1,050	MSP-Char (auto)/1	0,0	0,2	0,0	0,0	0,0	0,0	0,2

Jméno	Klíč kombinace
MSP-Char (auto)/1	ZS1 + ZS2 + ZS3 + ZS4
MSP-Char (auto)/2	ZS1 + ZS2 + ZS3



## 10.2. 1D deformace; - $u_z$

 Hodnoty:  $u_z$ 

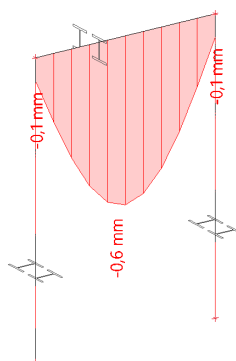
Lineární výpočet

Kombinace: MSP-Char (auto)

Souřadný systém: Globální

Extrém 1D: Dílec

Výběr: Vše



## 10.3. 1D deformace; - $U_{total}$

 Hodnoty:  $U_{total}$ 

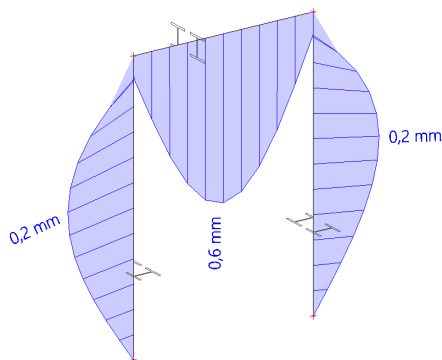
Lineární výpočet

Kombinace: MSP-Char (auto)

Souřadný systém: Globální

Extrém 1D: Dílec

Výběr: Vše



## 11. EC-EN 1993 Posudek oceli MSÚ

Hodnoty: UC<sub>celkový</sub>

Lineární výpočet

Kombinace: MSÚ-Sada B (auto)

Souřadný systém: Hlavní

Extrém 1D: Globální

Výběr: Vše

Posudek EN 1993-1-1

Národní dodatek: Česká CSN-EN NA

Dílec B2	0,000 / 1,200 m	2I (HEB140; 50,00; 190,00)	Válcovaný	S 235	MSÚ-Sada B (auto)	0,39 -
----------	-----------------	-------------------------------	-----------	-------	----------------------	--------

## Klíč kombinace

MSÚ-Sada B (auto) / 1.15\*ZS1 + 1.15\*ZS2 + 1.15\*ZS3 +  
1.50\*ZS4

## Díleč souč. spolehlivosti

Únosnost průřezů	Y <sub>M0</sub>	1,00
Únosnost na stabilitu	Y <sub>M1</sub>	1,00
Únosnost čistého průřezu	Y <sub>M2</sub>	1,25

## Materiál

Mez kluzu	f <sub>y</sub>	235,0	MPa
Pevnost v tahu	f <sub>u</sub>	360,0	MPa

## Posudek v řezu.

Průřez je klasifikován jako třída 1

Posudek v řezu.	Návrhová síla	Hodnota	Jednotka	Únosnost	Hodnota	Jednotka	Jedn. posudek [-]
Tlak	N <sub>Ed</sub>	-5,36	kN	N <sub>c,Rd</sub>	2020,01	kN	0,00
Smyk V <sub>y</sub>	V <sub>y,Ed</sub>	98,47	kN	V <sub>pl,y,Rd</sub>	255,00	kN	0,39
Ohyb M <sub>z</sub>	M <sub>z,Ed</sub>	-9,66	kNm	M <sub>pl,z,Rd</sub>	115,41	kNm	0,08

## Kombinované posudky průřezu

Kombinované posudky průřezu	Jedn. posudek [-]
Ohyb, osová síla a smyk	0,09

## Posudek stability

Rozhodující poloha pro klasifikaci stability: 0,000 m

Průřez je klasifikován jako třída 1

Vzpěrná skupina : Východí

Vzpěrná osa	k	L [m]	N <sub>cr</sub> [kN]	M <sub>cr</sub> [kNm]	λ <sub>rel</sub>	χ
y-y	1,00	1,200	127487,91		0,13	1,00
z-z	1,48	1,772	19928,51		0,32	1,00
LTB	1,00	1,200		4604,94	0,20	1,00

## Kombinované posudky stability

Interakční součinitele	k <sub>yy</sub>	k <sub>yz</sub>	k <sub>zy</sub>	k <sub>zz</sub>
Hodnota	1,00	0,54	0,92	0,90

Maximální moment M<sub>y,Ed</sub> je odvozen z nosníku B2 pozice 0,000 m.Maximální moment M<sub>z,Ed</sub> je odvozen z nosníku B2 pozice 0,600 m.

Kombinované posudky stability	M <sub>y,Ed</sub> [kNm]	M <sub>z,Ed</sub> [kNm]	Jedn. posudek [-]
Ohyb a osový tlak	0,00	19,89	0,16

## 12. EC-EN 1993 Posudek oceli MSP

Lineární výpočet

Kombinace: MSP-Char (auto)

Souřadný systém: Hlavní

Extrém 1D: Dílec

Výběr: Vše

Celkový posudek

Jméno	dx [m]	Stav	u <sub>y,max</sub> [mm] u <sub>z,max</sub> [mm]	u <sub>y,var</sub> [mm] u <sub>z,var</sub> [mm]	Lim. u <sub>y,max</sub> [mm] Lim. u <sub>z,max</sub> [mm]	Lim. u <sub>y,var</sub> [mm] Lim. u <sub>z,var</sub> [mm]	Posudek u <sub>y,max</sub> [-] Posudek u <sub>z,max</sub> [-]	Posudek u <sub>y,var</sub> [-] Posudek u <sub>z,var</sub> [-]	Nadvýšení dx u <sub>z</sub> [mm] Nadvýšení [mm]	Posudek celkový [-]
B1	1,050	MSP-Char (auto)/1	0,0 0,2	0,0 0,1	18,0 9,0	10,0 5,0	0,00 0,03	0,00 0,02	- -	0,03
B2	0,600-	MSP-Char (auto)/1	0,0 -0,5	0,0 -0,2	6,0 6,0	3,3 3,3	0,00 0,08	0,00 0,06	- -	0,08
B3	1,050	MSP-Char (auto)/1	0,0 -0,2	0,0 -0,1	18,0 9,0	10,0 5,0	0,00 0,03	0,00 0,02	- -	0,03

Jméno	Klíč kombinace
MSP-Char (auto)/1	ZS1 + ZS2 + ZS3 + ZS4